

بررسی بروز پروتئین TSLC1 در نمونه‌های سرطانی کولورکتال در شهر اصفهان توسط روش ایمونوھیستوشیمی

دکتر مهدی نیکبخت دستجردی^۱

چکیده

مقدمه: ژن TSLC1 (Tumor suppressor in lung cancer 1)، یک مهارکنندهٔ تومور است. برای بررسی ارتباط بروز TSLC1 و ویژگی‌های کلینیکوپاتولوژی بیماران مبتلا به سرطان کولورکتال، بروز این پروتئین را در بافت‌های سرطانی کولورکتال و بافت‌های سالم مجاور آن بررسی نمودیم.

روش‌ها: بروز TSLC1 در ۱۰۰ نمونه‌ای سرطان کولورکتال که پیش از آن‌ها بلوك پارافینی تهیه شده بود و ۱۰۰ نمونه‌ای بافت سالم مجاور همان نمونه‌های توموری با روش ایمونوھیستوشیمی مورد بررسی قرار گرفت و ارتباط بین بروز پروتئین با ویژگی‌های کلینیکوپاتولوژی بررسی شد. سن، جنس و ویژگی‌های کلینیکوپاتولوژی مورد توجه قرار گرفت.

یافته‌ها: TSLC1 در تمام بافت‌ها بروز پیدا کرده بود. از بین نمونه‌های سرطانی ۷۱ درصد کاهش بروز پروتئین TSLC1 را نسبت به بافت سالم مجاور نشان دادند. بروز پروتئین TSLC1 با مرحله‌ی سرطان، متاستاز به غدد لنفاوی و محل تومور ارتباط معنی‌داری داشت.

نتیجه‌گیری: بروز پروتئین TSLC1 ممکن است یک مارکر بیولوژیک مطلوب باشد و به عنوان یک عامل پیش‌آگهی دهندهٔ مفید برای بیماران مبتلا به سرطان کولورکتال محسوب شود.

وازگان کلیدی: TSLC1، سرطان کولورکتال، ژن مهارکنندهٔ تومور، ایمونوھیستوشیمی

سیتوپلاسمی و غشایی می‌باشد. حوزهٔ سیتوپلاسمی آن دارای یک Protein 4.1-binding motif و یک PDZ-binding motif می‌باشد که هر دو دارای وظایف مهی در عملکرد TSLC1 هستند (۳). موتاسیون‌های غیر فعال‌کنندهٔ TSLC1 نادر است، در حالی که LOH در محل استقرار این ژن (11q23.2) شایع می‌باشد؛ به طوری که در ۴۲ درصد از سرطان‌های ریه، ۳۳ درصد از سرطان‌های کبد و ۱۷ درصد از سرطان‌های پانکراس یافت شده است. همچنین Hypermethylation ناحیه‌ی پروموتر TSLC1 در حدود ۴۰ درصد از سرطان‌های ریه، ۱۵ تا ۳۰ درصد از سرطان‌های کبد، معده، پانکراس، سینه، نازوفارنکس و پروستات و نیز ۳۵ تا ۶۰ درصد از

مقدمه

ژن جدید (Tumor suppressor in lung cancer 1) TSLC1 که نام دیگر آن IGSF4 می‌باشد، یک مهارکنندهٔ تومور با عملکردهای متعددی در تنظیم تهاجم سلولی است. این ژن بر روی بازوی بلند کروموزوم شماره‌ی ۱۱ (11q23.2) قرار دارد، ناحیه‌ای که اغلب در سرطان‌های مختلف دچار Loss (of heterozygosity) می‌شود (۱-۲).

ژن TSLC1 یک گلیکوپروتئین 75 KDa می‌نماید که مشابهت زیادی با مولکول‌های چسبانندهٔ سلولی مثل NCAM-1 و NCAM-2 دارد. گلیکوپروتئین TSLC1 در ضخامت غشای سلولی قرار دارد و شامل سه حوزهٔ Domain (خارج سلولی،

^۱ دانشیار، گروه علوم تطبیقی، دانشکدهٔ پزشکی، دانشگاه علوم پزشکی اصفهان، اصفهان، ایران.

نویسندهٔ مسؤول: دکتر مهدی نیکبخت دستجردی

بین سلولی و عملکرد های متقابل سلول با ماتریکس خارج سلولی نقش ایفا می نمایند. مدارک متعددی نشان می دهند که بروز تغییرات در ویژگی های چسبندگی سلول های سرطانی دارای نقشی محوری در ایجاد، پیشرفت و متاستاز سرطان است. فقدان چسبندگی بین سلولی و جدا شدن سلول ها از غشای قاعده ای زیرین، به سلول های سرطانی امکان می دهد تا از ناحیه اولیه خود رها شده، ماتریکس خارج سلولی را تخریب نمایند و در نهایت یک فنوتیپ تهاجمی کسب کنند و به بافت های اطراف خود متاستاز دهند. ژن TSLC1 جزیی از Cell adhesion molecules است که در سازماندهی اسکلت سلولی با ایجاد اتصالات محکم بین سلولی، نقش ایفا می نماید. غیرفعال شدن این ژن می تواند چسبندگی بین سلولی و نیز اتصال بین غشا و اسکلت سلولی را از بین برد و باعث بروز فنوتیپ بد خیم و متاستاز گردد (۶).

با توجه به این که سرطان کولورکتال یکی از شایع ترین سرطان های بد خیم در اصفهان می باشد و مهم ترین فاکتور تعیین کننده پیش آگهی در این سرطان، حضور و توسعه متاستاز است؛ بنابراین تعیین بروز ژن TSLC1 به عنوان یکی از اجزای Cell adhesion molecules می تواند نقش مهمی در تعیین پیش آگهی داشته باشد. همچنین تعیین میزان بروز این پروتئین در غربال گری بیمارانی که احتمال عود بیماری در آنها بیشتر است، به منظور کاربرد روش های درمانی اضافی اهمیت دارد.

روش ها

مواد و وسایلی که در این مطالعه مورد استفاده قرار گرفت، در جدول ۱ ارائه شده است.

سرطان های گردن رحم مشاهده شده است (۴). در حالی که در مورد درگیری ژن TSLC1 در نمونه های سرطانی کولورکتال گزارش های کمی ارائه شده است (۵). اگر چه عملکرد TSLC1 هنوز به طور کامل مشخص نشده است، ولی مطالعات *in vivo* و *in vitro* نشان داده است که این پروتئین نه تنها القاکننده آپوپتوز می باشد بلکه در تنظیم چسبندگی بین سلولی و حرکت سلولی نقش ایفا می نماید (۶). کاهش بیان TSLC1 در مرحله پیشرفتی سرطان ریه همراه با پیش آگهی ضعیف این تومور گزارش شده است؛ به طوری که با کاهش بیان TSLC1 میزان مرگ و میر در این نوع تومور افزایش می یابد. مشاهدات دیگر نیز نشان داده است که میزان بیان TSLC1 با قدرت تهاجمی تومور مرتبط می باشد؛ به طوری که با کاهش بیان این پروتئین، قدرت تهاجمی تومور افزایش می یابد و به نواحی دیگر متاستاز می دهد (۴). در ۸۳ درصد موارد ارتباط سرطان نازوفارنکس و متاستاز به غدد لنفاوی با کاهش بیان و یا فقدان بیان TSLC1 گزارش شده است (۷).

از طرف دیگر، در سرطان معده میزان Hypermethylation ژن های مهارکننده تومور از TSLC1 که باعث کاهش بروز TSLC1 می گردد با افزایش سن افزایش می یابد (۸). همچنین در سرطان ریه فقدان بروز TSLC1 در مردان مبتلا به این نوع سرطان بیشتر از زنان مبتلا دیده شده است (۴). به علاوه، در این نوع سرطان احتمال عود بیشتر و نیاز به استفاده از روش های درمانی اضافی جهت کنترل بیماری در بیمارانی که میزان بروز پروتئین در آنها پایین تر می باشد، دیده شده است (۹).

در عملکردهای متقابل Cell adhesion molecules

- الف) آماده‌سازی بافت (Tissue processing)
- ۱) پارافین‌زدایی از نمونه‌های موجود در بلوک‌های پارافینی
 - ۲) آب‌گیری نمونه‌ها توسط اتانول‌های سعودی (۷۰، ۹۵ و ۹۹ درصد)
 - ۳) شفاف‌سازی نمونه‌ها توسط گزیلن
 - ۴) قالب‌گیری مجدد نمونه‌ها به وسیله‌ی پارافین
 - ب) برش‌گیری:
برش‌های بافتی به ضخامت ۳-۴ میکرون تهیه شد.
 - ج) رنگ‌آمیزی ایمونوهیستوشیمی:
۱) پارافین‌زدایی توسط غوطه‌ور سازی نمونه‌ها در گزیلن
 - ۲) آبدھی توسط اتانول‌های نزولی (۹۹، ۹۵ و ۷۰ درصد)
 - ۳) Antigen retrieval که به مدت بیست دقیقه در دمای ۹۸ درجه‌ی سانتی‌گراد در بافر ۰/۰۱ مولار سیترات سدیم در یک اون میکروویو انجام گرفت.
 - ۴) توسط آنزیم تریپسین (۱:۱۵۰) عمل هضم به مدت ۱۰ دقیقه برای TSLC1 انجام شد.
 - ۵) در مرحله‌ی بعد به منظور توقف فعالیت Endogenous peroxide برش‌ها به مدت ۱۰ دقیقه در مجاورت پراکسید هیدروژن ۳ درصد انکوبه گردید.
 - ۶) سه مرتبه شستشو در PBS (Phosphate buffered saline)
 - ۷) به منظور مهار اتصال IgG غیر اختصاصی برش‌ها به مدت ۳۰ دقیقه در محلول PBS محتوی BSA (Bovine serum albumin) ۲ درصد انکوبه شد.
 - ۸) نمونه‌ها با آنتی‌بادی اولیه (Rabbit polyclonal anti-TSLC1) با رقت ۱:۱۵۰۰ به مدت یک شب در درجه‌ی حرارت ۴ درجه‌ی سانتی‌گراد انکوبه گردید.

جدول ۱. مواد و وسائل مورد استفاده		
نام دستگاه و یا مواد شرکت سازنده یا فروشنده کشور سازنده		
گزیلن	MERCK	آلمان
H ₂ O ₂	MERCK	آلمان
سیترات سدیم	MERCK	آلمان
DAB	SIGMA	آلمان
اتanol مطلق	GOAT SERUM	آلمان
۹۹ اتانول	MERCK	آلمان
پارافین	MERCK	آلمان
هماتوکسیلین	SIGMA	آلمان
اوزین	MERCK	آلمان
پارافین	MERCK	آلمان
Boric acid	MERCK	آلمان
EDTA	MERCK	آلمان
Tris	MERCK	آلمان
KH ₂ PO ₄	MERCK	آلمان
Na ₂ HPO ₄	MERCK	آلمان
مونوکلونال آنتی‌بادی Detection	SIGMA	آلمان
Superblock ایتلان	SIGMA	آلمان
لامل	SIGMA	آلمان
لام	SIGMA	آلمان

در این مطالعه از ۱۰۰ نمونه‌ی سرطان کولورکتال که پیش از آن از آنها بلوک پارافینی تهیه شده بود، به عنوان گروه آزمایش و ۱۰۰ نمونه‌ی بافت سالم مجاور همان نمونه‌های توموری به عنوان گروه شاهد استفاده شد. نمونه‌های سرطانی کولورکتال (صرف نظر از فامیلی بودن یا نبودن آنها) وارد مطالعه شدند. انواع خوش‌خیم تومور یا پولیپ‌های ناحیه‌ی کولون، بیماری التهابی روده (IBD) یا Inflammatory bowel disease و Hamartoma از مطالعه خارج شدند. پس از تأیید تشخیص پاتولوژی مراحل زیر جهت تهیه‌ی لام ایمونوهیستوشیمی به ترتیب انجام گرفت:

- درصد (نمره‌ی ۳)
 ۲) درصد سلول‌های رنگ‌آمیزی شده بین ۵۰-۱۶
 درصد (نمره‌ی ۲)
 ۳) درصد سلول‌های رنگ‌آمیزی شده بین ۱۵-۱
 درصد (نمره‌ی ۱).

پس از آن نمرات مربوط به شدت رنگ‌آمیزی و درصد سلول‌های رنگ‌آمیزی شده در هم‌دیگر ضرب شد و نمره‌ی نهایی هر بافت مشخص گردید و بر این اساس نمونه‌های سرطانی به سه گروه تقسیم شدند:
 ۱) گروه ++ که میزان بروز پروتئین در آن مشابه بافت سالم مجاور بود (نمرات به دست آمده در بافت سرطانی بین ۸ تا ۶ بود).

۲) گروه + که میزان بروز پروتئین در آن نسبت به بافت سالم مجاور کاسته شده بود (نمرات به دست آمده در بافت سرطانی بین ۵ تا ۳ بود).

۳) گروه - که رنگ‌آمیزی قابل ردهیابی نداشت (نمرات به دست آمده در بافت سرطانی کمتر از ۳ بود).
 اطلاعات به دست آمده از طریق نرم‌افزار SPSS (SPSS Inc., Chicago, IL) مورد تجزیه و تحلیل آماری قرار گرفت. مقایسه‌ی بین نمونه‌های توموری و سالم و نیز ارتباط بین بروز پروتئین با نوع، محل و مرحله‌ی تومور و ارتباط بین بروز پروتئین با سن و جنس بیمار از طریق آزمون χ^2 مشخص گردید. در صورت فراهم نبودن شرایط آزمون χ^2 از آزمون Fisher's exact استفاده شد. مقدار P کوچک‌تر از ۰/۰۵ معنی‌دار تلقی شد.

یافته‌ها

خصوصیات کلینیکوپاتولوژی نمونه‌های فوق که شامل سن، جنس، محل، مرحله و نوع تومور می‌باشد در

۹) آغشته‌سازی ملایم نمونه‌ها با HCL ۵ صدم مولار
 ۱۰) نمونه‌ها با آنتی‌بادی ثانویه (Biotinylated goat anti rabbit Ig G) به مدت ۳۰ دقیقه در درجه‌ی حرارت ۴ درجه‌ی سانتی‌گراد انکوبه شد.

۱۱) نمونه‌ها به مدت ۳۰ دقیقه در انکوبه گردید. Straptavidin-bioti peroxidase Diaminobenzidine واکنش کرو موژنیک توسط انجام شد.

۱۲) رنگ‌آمیزی مخالف نیز با Hematoxilin انجام گردید.

۱۳) در نهایت نمونه‌ها زیر میکروسکوپ نوری بررسی شدند.

۱۴) در گروه‌های کترل منفی از PBS به جای آنتی‌بادی‌های اختصاصی استفاده شد.

۱۵) بررسی میکروسکوپیک مقاطع نشان‌دار شده با آنتی‌بادی:

هر یک از لام‌های نشان‌دار شده با آنتی‌بادی در زیر میکروسکوپ نوری با بزرگنمایی 400×10 فیلد مختلف برای شمارش ۱۰۰ سلول در هر فیلد مورد بررسی قرار گرفت. بر طبق شدت رنگ‌آمیزی سلول‌های بافت توموری و بافت سالم مجاور، سلول‌ها به سه گروه تقسیم بندی شد:

۱) سلول‌های با بیشترین شدت رنگ‌آمیزی (نمره‌ی ۲)

۲) سلول‌های با شدت رنگ‌آمیزی کمتر (نمره‌ی ۱)

۳) سلول‌های رنگ‌آمیزی نشده (نمره‌ی ۰)

بر اساس درصد سلول‌های رنگ‌آمیزی شده در بافت توموری و بافت سالم مجاور نیز سلول‌ها به سه گروه تقسیم‌بندی شد:

۱) درصد سلول‌های رنگ‌آمیزی شده بین ۱۰۰-۵۱

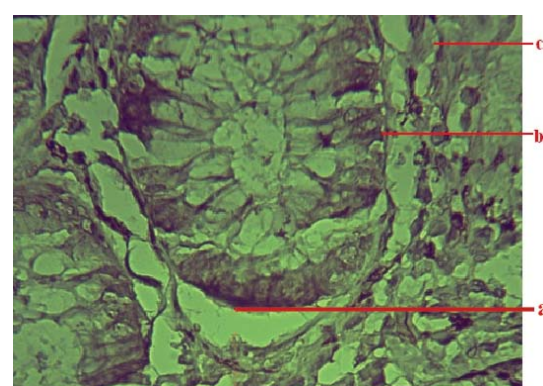
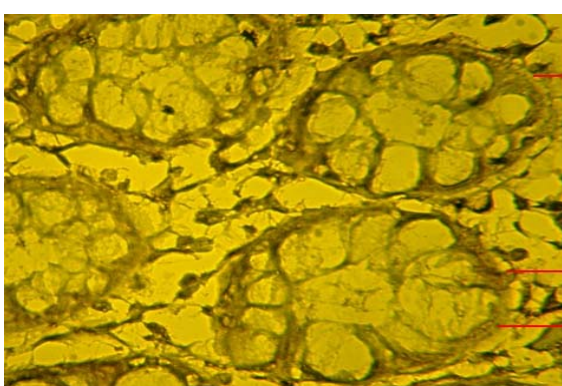
زنان مبتلا به این نوع سرطان $14/65 \pm 63/15$ سال بود. در این مطالعه نمونه‌ها به روش ایمونوھیستوشیمی با استفاده از آنتی‌بادی اختصاصی ضد پروتئین و رنگ‌آمیزی DAB مورد بررسی قرار گرفت. روش ایمونوھیستوشیمی در همگی این نمونه‌ها به طور موفقیت‌آمیز انجام گرفت. بروز پروتئین TSLC1 به طور عمده سیتوپلاسمی بود. در کلیه‌ی نمونه‌ها اعم از سرطانی و سالم سه دسته سلول قابل مشاهده بود: دسته‌ی اول شامل سلول‌هایی بود که به شدت رنگ قهوه‌ای گرفته بود، دسته‌ی دوم شامل سلول‌هایی بود که شدت رنگ‌آمیزی در آن‌ها کمتر بود و دسته‌ی سوم سلول‌هایی بود که رنگ قهوه‌ای نگرفته بود (شکل ۱). بر اساس درصد سلول‌های رنگ‌آمیزی شده و نیز شدت رنگ‌آمیزی هر بافت، نمره‌ی نهایی آن‌ها تعیین گردید. نمره‌ی نهایی بافت‌های سالم بین ۶ تا ۸ قرار گرفت. در مورد پروتئین TSLC1 از بین ۱۰۰ نمونه سرطانی مورد مطالعه در ۲۹ نمونه بروز پروتئین مشابه بافت سالم مجاور تومور (گروه++) بود؛ یعنی نمرات به دست آمده در بافت سرطانی بین ۶ تا ۸ قرار

جدول ۲ ثبت شده است.

جدول ۲. نتایج کلینیکوپاتولوژی ۱۰۰ نمونه‌ی مبتلا به آدنوکارسینومای کولورکتال

نمونه‌های سرطانی	تعداد	جنس
آدنوکارسینومای موسینی	۶۰	مرد
آدنوکارسینومای غیر موسینی	۴۰	زن
A-B	۵۸	≥ 60
C-D	۴۲	≤ 59
Dukes Stage	۹۰	سن
Grade	۹۲	
کولون (پروگریمال)	۸	
رکتوصیگمویید (دیستال)	۴۳	نوع تومور
دارد	۳۸	
ندارد	۹	متاستاز به غدد لنفاوی

در نمونه‌های مورد مطالعه، متوسط سن مردان مبتلا به سرطان کولورکتال $28/13 \pm 17/66$ و متوسط سن



شکل ۱. بروز پروتئین TSLC1 در نمونه‌های بافت سرطانی و بافت سالم مجاور تومور

در کلیه‌ی نمونه‌ها اعم از سرطانی و سالم سه دسته سلول قابل مشاهده است: دسته‌ی اول شامل سلول‌هایی که هسته‌ی آن‌ها به شدت رنگ قهوه‌ای گرفته است (a)، دسته‌ی دوم شامل سلول‌هایی که شدت رنگ‌آمیزی هسته در آن‌ها کمتر است (b) و دسته‌ی سوم سلول‌هایی که هسته‌ی آن‌ها رنگ قهوه‌ای نگرفته است (c).

بزرگنمایی $\times 400$

1-B: بروز پروتئین TSLC1 در نمونه‌ی سالم مجاور تومور

1-A: بروز پروتئین TSLC1 در نمونه‌ی سرطانی

و. یکی از نمونه‌ها نیز در مرحله‌ی D بود. اختلاف بروز پروتئین بین نمونه‌ها در مراحل A و B و نیز نمونه‌های در مراحل D و C معنی‌دار بود ($P = 0.05$) (جدول ۴).

جدول ۴. ارتباط بروز پروتئین TSLC1 در نمونه‌های سرطانی با مرحله‌ی تومور

P	مرحله‌ی تومور					TSLC1
	A (درصد)	B (درصد)	C (درصد)	D (درصد)	تعداد	
	تعداد	تعداد	تعداد	تعداد	تعداد	
۰.۰۵	۲۱ (۳۷/۵)	۱۲ (۳۳/۳)	۰ (۰)	۰ (۰)	++	
	۳۳ (۵۸/۹)	۲۲ (۶۱/۱)	۴ (۵۷/۱)	۱ (۱۰۰)	+	
	۲ (۳/۶)	۲ (۵/۶)	۳ (۴۲/۹)	۰ (۰)	-	
	۵۶	۳۶	۷	۱	جمع کل	

محل تومور در ۶۹ نمونه در ناحیه‌ی کولون (پروگزیمال) و در ۳۱ نمونه در ناحیه‌ی رکتوم و سیگموید (دیستال) بود. جدول ۵ فراوانی بروز پروتئین را بر اساس محل تومور نشان داده است.

جدول ۵. ارتباط بروز پروتئین TSLC1 در نمونه‌های سرطانی با محل تومور

P	محل تومور					TSLC1
	رکتومو-سیگموید (دیستال) (درصد)	کولون (پروگزیمال) (درصد)	پروتئین (درصد)	تعداد	تعداد	
	تعداد	تعداد	تعداد	تعداد	تعداد	
< ۰.۰۱۷	۴ (۱۲/۹)	۲۵ (۳۶/۲)	++			
	۲۱ (۶۷/۷)	۴۲ (۶۰/۹)	+			
	۶ (۱۹/۴)	۲ (۲/۹)	-			
	۳۱	۶۹	جمع کل			

همان طور که در جدول دیده می‌شود اختلاف بروز پروتئین بین تومورهای این دو ناحیه معنی‌دار بود ($P < 0.017$).

جدول ۶ فراوانی بروز پروتئین را به تفکیک جنس نشان می‌دهد.

داشت. بروز پروتئین در ۶۳ نمونه نسبت به بافت سالم مجاور تومور کاهش یافته بود (گروه +)، یعنی نمرات به دست آمده در بافت سرطانی بین ۳ تا ۵ بود. در تعداد ۸ نمونه نیز بروز پروتئین در بافت تومور نسبت به بافت سالم کاهش چشمگیر داشت (گروه -)؛ به طوری که نمرات به دست آمده در بافت سرطانی کمتر از ۳ بود. به طور کلی از بین نمونه‌های سرطانی ۷۱ نمونه (۷۱ درصد) به طور متوسط و شدید کاهش بروز پروتئین TSLC1 را نسبت به بافت سالم مجاور نشان دادند.

از ۱۰۰ نمونه مورد مطالعه، تعداد ۱۰ نمونه از نوع آدنوکاسینومای موسینی و بقیه‌ی نمونه‌ها از نوع آدنوکاسینومای غیر موسینی بودند. در مورد بروز پروتئین TSLC1 از بین نمونه‌های آدنوکاسینومای غیر موسینی، تعداد ۷ نمونه در گروه (-)، تعداد ۲۶ نمونه در گروه (+) و تعداد ۵۷ نمونه نیز در گروه (+) جای گرفتند. از بین نمونه‌های آدنوکاسینومای موسینی نیز تعداد ۱ نمونه در گروه (-)، تعداد ۳ نمونه در گروه (++) و تعداد ۶ نمونه نیز در گروه (+) جای گرفتند. اختلاف بروز پروتئین TSLC1 بین این دو نوع تومور معنی‌دار نبود ($P = 0.1$) (جدول ۳).

جدول ۳. بروز پروتئین TSLC1 در آدنوکاسینومای موسینی و غیر موسینی

P	آدنوکاسینومای غیر موسینی			TSLC1
	بروز پروتئین	موسینی	موسینی	
	(درصد)	تعداد	مقدار	
	۲۶ (۲۸/۹)	۳ (۳۰)	++	
۱	۵۷ (۶۳/۳)	۶ (۶۰)	+	
	۷ (۷/۸)	۱ (۱۰)	-	

۵۶ نمونه در مرحله‌ی A، ۳۶ نمونه B، ۷ نمونه C

جدول ۶. ارتباط بروز پروتئین TSLC1 با متاستاز به غدد لنفاوی

متاستاز به غدد لنفاوی		بروز پروتئین TSCL1	مقدار TSCL1
بدون متاستاز (درصد) تعداد	با متاستاز (درصد) تعداد		
۳ (۹/۷)	۲۸ (۴۰/۶)	++	
< ۰/۰۰۲	۲۳ (۷۴/۲)	+	
۵ (۱۶/۱)	۳ (۴/۳)	-	
۳۱	۶۹	جمع کل	

جدول ۶. ارتباط بروز پروتئین TSLC1 در نمونه‌های سرطانی با

جنس بیمار		بروز پروتئین TSCL1	مقدار TSCL1
مردان	زنان		
۱۸ (۳۰)	۱۱ (۲۷/۵)	++	
۳۶ (۶۰)	۲۷ (۶۷/۵)	+	
۶ (۱۰)	۲ (۵)	-	
۶۰	۴۰	جمع کل	

بروز پروتئین TSLC1 بر اساس وجود متاستاز به غدد لنفاوی در جدول ۶ نشان داده شده است. همان گونه که در جدول مشاهده می‌شود اختلاف بروز پروتئین بین تومورها بر اساس متاستاز به غدد لنفاوی معنی‌دار بود ($P < 0/002$).

نتایج ارتباط بروز پروتئین با سن بیمار نیز در جدول ۷ نشان داده شده است.

جدول ۷. ارتباط بروز پروتئین TSLC1 در نمونه‌های سرطانی با

سن بیمار		بروز پروتئین TSCL1	مقدار TSCL1
کمتر از ۵۹ سال	بیشتر از ۶۰ سال		
۱۲ (۲۸/۶)	۱۷ (۲۹/۳)	++	
۲۶ (۶۱/۹)	۳۷ (۶۳/۸)	+	
۴ (۹/۵)	۴ (۶/۹)	-	
۴۲	۵۸	جمع کل	

همان گونه که در جدول مشاهده می‌شود بین بروز پروتئین و سن بیماران ارتباط معنی‌داری وجود نداشت. نتایج نشان داد که بین بروز پروتئین با Grade تومور در نمونه‌های آدنوکارسینومای غیر موسینی ارتباط معنی‌داری وجود داشت (جدول ۸).

همان گونه که در جدول مشاهده می‌شود بین بروز پروتئین و سن بیماران ارتباط معنی‌داری وجود نداشت. نتایج نشان داد که بین بروز پروتئین با Grade تومور در نمونه‌های آدنوکارسینومای غیر موسینی ارتباط معنی‌داری وجود داشت (جدول ۸).

جدول ۸. ارتباط بروز پروتئین TSLC1 در نمونه‌های سرطانی با

Grade		بروز پروتئین TSCL1	مقدار TSCL1
Grade	Grade		
۱	۲	۲ (۲۲/۲)	++
۴ (۱۰/۵)	۴ (۳۷/۲)		
۳ (۳۳/۳)	۳۱ (۸۱/۶)	+	
۴ (۴۴/۴)	۳ (۷/۹)	-	
۹	۳۴	جمع کل	
۵۴			

و همکاران نشان دادند که بخش‌های Mao و PDZ-interacting و FERM-binding سیتوپلاسمی، برای عملکرد مهاری این ژن اهمیت حیاتی دارند (۱۱). نتایج ایمونوھیستوشیمی ما نشان داد که TSLC1 هم در غشای سلولی و هم در

پیش‌آگهی ضعیف‌تری را برای بیمار ارائه نماید. بنابراین TSLC1 می‌تواند در یکی از مسیرهای عمدۀ رشد تومور در سرطان کولورکتال انسانی نقش ایفا کند.

در مطالعات مربوط به ژن‌های مهار کننده با توجه به این که این ژن‌ها اغلب در آپوپتوز سلولی ناشی از نقص DNA فعال هستند و سلول‌های معیوب را از چرخه‌ی سلولی خارج می‌نمایند، عواملی که بیان این ژن‌ها را کاهش می‌دهند می‌توانند باعث پیشرفت تومور از مراحل و درجات اولیه به مراحل و درجات پیشرفت شوند و بدین ترتیب می‌توانند به عنوان یک مارکر برای تعیین پیش‌آگهی مد نظر باشند و بنابراین در تومورهای با درجه‌ی بدخیمی بیشتر انتظار می‌رود که کاهش بیان پروتئین بیشتر باشد. در این مطالعه نیز کاهش بروز پروتئین در نمونه‌های با مرحله و درجه‌ی پیشرفت و تومورهای دارای متاستاز به غدد لنفاوی بیشتر مشاهده شده است.

کاهش بروز TSLC1 در سرطان اولیه‌ی کبد، پانکراس، پروستات و پستان و در رده‌های سلولی سرطانی دیگر مشتق از سرطان‌های مری، عده، کولون، تخمدان و آندومتر هم دیده شده است که نشان می‌دهد که کاهش بروز این پروتئین در دیگر سرطان‌های انسانی نیز دخیل است (۲۱-۲۷).

همچنین گزارش شده است که کاهش بروز TSLC1 با جنس بیماران مبتلا به کارسینومای ریه مرتبط می‌باشد به طوری که مردان بیش از زنان دچار کاهش بروز شده‌اند. به علاوه پیش‌آگهی کاهش بروز در دو جنس متفاوت گزارش شده است (۴). در حالی که در مطالعه‌ی ما ارتباط معنی‌داری بین دو جنس در کاهش بروز TSLC1 در نمونه‌های سرطانی کولورکتال مشاهده نشد. تفاوت مطالعه‌ی ما با این مطالعه

سیتوپلاسم بروز می‌نماید. یکی از دلایل احتمالی موقعیت سیتوپلاسمی TSLC1 این است که این پروتئین علاوه بر غشای سلولی در دستگاه گلژی و رتیکولوم اندوپلاسمیک نیز وجود دارد.

TSLC1 و همکاران گزارش کردند که Kitamura نه تنها در سیتوپلاسم بلکه همچنین در سطح سلول‌های آدنوکارسینومای ریه توزیع شده است (۱۲). با بررسی سطوح بیان TSLC1 در نمونه‌های سرطانی کولورکتال ما دریافتیم که در ۷۱ درصد از نمونه‌های سرطانی بروز این پروتئین دچار کاهش شدید یا متوسط می‌گردد.

Methylation مطالعات نشان داده است که پروموتر TSLC1 در رده‌های سلولی و نمونه‌های سرطانی اولیه‌ی مختلف وجود دارد. نشان داده شده است که درمان با 5-aza-dc می‌تواند بیان TSLC1 را در سلول‌های سرطانی افزایش دهد که ثابت می‌کند که متیلیشن پرموتر در خاموش شدن ژن TSLC1 در سرطان کولورکتال مؤثر است (۱۳-۱۶). ما وضعیت متیلیشن نواحی CPG را در پرموتر TSLC1 بررسی نکردیم و لازم است در مطالعات آتی بدان توجه شود. با تعیین سطوح بروز TSLC1 در کارسینومای اولیه‌ی کولورکتال، مشابه مطالعات گذشته در نمونه‌های سرطانی ریه و مری (۱۰، ۱۶) ما نشان دادیم که کاهش سطح بروز TSLC1 در تومورهای با مرحله و درجه‌ی پیشرفت و نمونه‌های دارای متاستاز به غدد لنفاوی دارای اختلاف معنی‌داری نسبت به سایر نمونه‌ها می‌باشد که نمایانگر آن است که با توجه به آن که TSLC1 می‌تواند رشد و تهاجم تومور را مهار نماید، کاهش سطح بروز آن ممکن است درجه‌ی بدخیمی را در کارسینومای کولورکتال افزایش دهد و

باشد. یک مکانیسم عبارت است از ناپایداری کروموزومی که مربوط به سرطان‌های ناحیه‌ی دیستال کولون می‌باشد و مکانیسم دیگر ناپایداری میکروساتلیت است که در سرطان‌زایی ناحیه پروگزیمال کولون نقش ایفا می‌نماید.

نتیجه‌گیری

در این مطالعه ما دریافتیم که کاهش سطح بروز پروتئین TSLC1 در تومورهای با مرحله‌ی پیشرفته و نمونه‌های دارای متاستاز به غدد لنفاوی دارای اختلاف معنی داری نسبت به سایر نمونه‌ها می‌باشد که نمایانگر آن است که کاهش سطح بروز این پروتئین ممکن است درجه‌ی بدخیمی را در کارسینومای کولورکتال افزایش دهد و پیش‌آگهی ضعیف‌تری را برای بیمار ارائه نماید. این مشاهدات نشان می‌دهد که با ارزیابی بروز این پروتئین در نمونه‌های سرطانی کولورکتال می‌توان اطلاعات ارزشمندی را در ارتباط با پیش‌آگهی بیماران به دست آورد و در جهت بهبود استراتژی‌های درمانی مورد استفاده قرار داد.

می‌تواند مربوط به نوع تومورهای مورد مطالعه باشد. کاهش سطح بروز پروتئین TSLC1 در تومورهای ناحیه‌ی رکتوسیگموید دارای اختلاف معنی داری نسبت به تومورهای ناحیه‌ی کولون بود به طوری که کاهش بیان این پروتئین‌ها به طور عمده در نمونه‌های سرطانی ناحیه‌ی دیستال دیده شد. در مورد کاهش بروز این پروتئین در نواحی مختلف روده‌ی بزرگ تاکنون گزارشی ارائه نشده است، ولی در مورد سایر پروتئین‌های مهارکننده‌ی تومور مثل پروتئین PTEN مطالعات متعددی انجام گرفته است. مشابه با نتایج ما، Colakoglu و همکاران (۲۲) و همچنین Rychahou و همکاران (۲۳)، به تازگی کاهش بیان پروتئین PTEN را در نمونه‌های سرطانی ناحیه‌ی دیستال یافته‌های ما، Jang و همکاران کاهش بروز پروتئین PTEN را به طور عمده در تومورهای ناحیه‌ی کولون (پروگزیمال) یافته‌ند. در حالی که بر خلاف یافته‌های ما، همکاران (۲۴) این یافته‌ها ممکن است با مکانیسم‌های ژنتیکی مختلفی که در سرطان‌زائی نوع اسپورادیک نواحی پروگزیمال و دیستال کولورکتال دخالت دارد مرتبط

References

1. Kuramochi M, Fukuhara H, Nobukuni T, Kanbe T, Maruyama T, Ghosh HP, et al. TSLC1 is a tumor-suppressor gene in human non-small-cell lung cancer. *Nat Genet* 2001; 27(4): 427-30.
2. Murakami Y, Nobukuni T, Tamura K, Maruyama T, Sekiya T, Arai Y, et al. Localization of tumor suppressor activity important in nonsmall cell lung carcinoma on chromosome 11q. *Proc Natl Acad Sci U S A* 1998; 95(14): 8153-8.
3. Masuda M, Yageta M, Fukuhara H, Kuramochi M, Maruyama T, Nomoto A, et al. The tumor suppressor protein TSLC1 is involved in cell-cell adhesion. *J Biol Chem* 2002; 277(34): 31014-9.
4. Goto A, Niki T, Chi-Pin L, Matsubara D, Murakami Y, Funata N, et al. Loss of TSLC1 expression in lung adenocarcinoma: relationships with histological subtypes, sex and prognostic significance. *Cancer Sci* 2005; 96(8): 480-6.
5. Fukami T, Fukuhara H, Kuramochi M, Maruyama T, Isogai K, Sakamoto M, et al. Promoter methylation of the TSLC1 gene in advanced lung tumors and various cancer cell lines. *Int J Cancer* 2003; 107(1): 53-9.
6. Heller G, Geraerts J, Ziegler B, Newsham I, Filipits M, Markis-Ritzinger EM, et al. Downregulation of TSLC1 and DAL-1 expression occurs frequently in breast cancer. *Breast Cancer Res Treat* 2007; 103(3): 283-91.
7. Lung HL, Cheung AK, Xie D, Cheng Y, Kwong FM, Murakami Y, et al. TSLC1 is a tumor suppressor gene associated with metastasis in nasopharyngeal carcinoma. *Cancer Res* 2006; 66(19): 9385-92.

8. Matsubayashi H, Sato N, Brune K, Blackford AL, Hruban RH, Canto M, et al. Age- and disease-related methylation of multiple genes in nonneoplastic duodenum and in duodenal juice. *Clin Cancer Res* 2005; 11(2 Pt 1): 573-83.
9. Uchino K, Ito A, Wakayama T, Koma Y, Okada T, Ohbayashi C, et al. Clinical implication and prognostic significance of the tumor suppressor TSLC1 gene detected in adenocarcinoma of the lung. *Cancer* 2003; 98(5): 1002-7.
10. Murakami Y, Nobukuni T, Tamura K, Maruyama T, Sekiya T, Arai Y, et al. Localization of tumor suppressor activity important in nonsmall cell lung carcinoma on chromosome 11q. *Proc Natl Acad Sci U S A* 1998; 95(14): 8153-8.
11. Mao X, Seidlitz E, Truant R, Hitt M, Ghosh HP. Re-expression of TSLC1 in a non-small-cell lung cancer cell line induces apoptosis and inhibits tumor growth. *Oncogene* 2004; 23(33): 5632-42.
12. Kitamura Y, Kurosawa G, Tanaka M, Sumitomo M, Muramatsu C, Eguchi K, et al. Frequent overexpression of CADM1/IGSF4 in lung adenocarcinoma. *Biochem Biophys Res Commun* 2009; 383(4): 480-4.
13. Borinstein SC, Conerly M, Dzieciatkowski S, Biswas S, Washington MK, Trobridge P, et al. Aberrant DNA methylation occurs in colon neoplasms arising in the azoxymethane colon cancer model. *Mol Carcinog* 2010; 49(1): 94-103.
14. Heller G, Fong KM, Girard L, Seidl S, End-Pfutzenreuter A, Lang G, et al. Expression and methylation pattern of TSLC1 cascade genes in lung carcinomas. *Oncogene* 2006; 25(6): 959-68.
15. Honda T, Tamura G, Waki T, Jin Z, Sato K, Motoyama T, et al. Hypermethylation of the TSLC1 gene promoter in primary gastric cancers and gastric cancer cell lines. *Jpn J Cancer Res*. 2002; 93: 857-60.
16. Ito T, Shimada Y, Hashimoto Y, Kaganoi J, Kan T, Watanabe G, et al. Involvement of TSLC1 in progression of esophageal squamous cell carcinoma. *Cancer Res* 2003; 63(19): 6320-6.
17. Shingai T, Ikeda W, Kakunaga S, Morimoto K, Takekuni K, Itoh S, et al. Implications of nectin-like molecule-2/IGSF4/RA175/SgIGSF/TSLC1/SynCAM1 in cell-cell adhesion and transmembrane protein localization in epithelial cells. *J Biol Chem* 2003; 278(37): 35421-7.
18. Boles KS, Barchet W, Diacovo T, Celli M, Colonna M. The tumor suppressor TSLC1/NECL-2 triggers NK-cell and CD8+ T-cell responses through the cell-surface receptor CRTAM. *Blood* 2005; 106(3): 779-86.
19. Sussan TE, Pletcher MT, Murakami Y, Reeves RH. Tumor suppressor in lung cancer 1 (TSLC1) alters tumorigenic growth properties and gene expression. *Mol Cancer* 2005; 4: 28.
20. Fukuhara H, Kuramochi M, Fukami T, Kasahara K, Furuhata M, Nobukuni T, et al. Promoter methylation of TSLC1 and tumor suppression by its gene product in human prostate cancer. *Jpn J Cancer Res* 2002; 93(6): 605-9.
21. Allinen M, Peri L, Kujala S, Lahti-Domenici J, Outila K, Karppinen SM, et al. Analysis of 11q21-24 loss of heterozygosity candidate target genes in breast cancer: indications of TSLC1 promoter hypermethylation. *Genes Chromosomes Cancer* 2002; 34(4): 384-9.
22. Rychahou PG, Jackson LN, Silva SR, Rajaraman S, Evers BM. Targeted molecular therapy of the PI3K pathway: therapeutic significance of PI3K subunit targeting in colorectal carcinoma. *Ann Surg* 2006; 243(6): 833-42.
23. Colakoglu T, Yildirim S, Kayaselcuk F, Nursal TZ, Ezer A, Noyan T, et al. Clinicopathological significance of PTEN loss and the phosphoinositide 3-kinase/Akt pathway in sporadic colorectal neoplasms: is PTEN loss predictor of local recurrence? *Am J Surg* 2008; 195(6): 719-25.
24. Jang KS, Song YS, Jang SH, Min KW, Na W, Jang SM, et al. Clinicopathological significance of nuclear PTEN expression in colorectal adenocarcinoma. *Histopathology* 2010; 56(2): 229-39.

Analysis of TSLC1 Expression in Colorectal Cancer Specimens by Immunohistochemistry

Mehdi Nikbakht Dastjerdi PhD¹

Abstract

Background: The tumor suppressor in lung cancer-1 (TSLC1) is a tumor-suppressor gene. We evaluated the correlation between TSLC1 expression and clinicopathological characteristics of colorectal cancer patients by comparing primary colorectal cancer and adjacent normal colorectal tissues.

Methods: TSLC1 expression was evaluated in 100 pairs of primary colorectal cancerous and corresponding normal colorectal tissues using immunohistochemical staining on paraffin-embedded sections. The correlation between immunohistochemical findings and clinicopathological factors was then investigated. Age, gender, and clinicopathological presentation of patients were also noted.

Findings: TSLC1 was expressed in all tissues. A 71%- down regulation of TSLC1 was colorectal cancer specimens compared to the matched normal tissues. There were statistically significant correlations between TSLC1 expression and stage, location, and lymph node metastasis.

Conclusion: TSLC1 expression may be a favorable biologic marker and a useful prognostic indicator in patients with colorectal cancer.

Keywords: TSLC1, Colorectal cancer, Tumor suppressor gene, Immunohistochemistry

¹ Associate Professor, Department of Anatomical Sciences and Molecular Biology, School of Medicine, Isfahan University of Medical Sciences, Isfahan, Iran

Corresponding Author: Mehdi Nikbakht Dastjerdi PhD, Email: nikbakht@med.mui.ac.ir